

Магнитный момент кольца Волкано

© В.А. Маргулис, В.А. Миронов

Мордовский государственный университет им. Н.П. Огарева,
430000 Саранск, Россия

E-mail: theorphysics@mrsu.ru

(Поступила в Редакцию в окончательном виде 4 мая 2007 г.)

Получены явные аналитические выражения для магнитного момента и незатухающего тока кольца Волкано. Изучена зависимость магнитного момента от магнитных полей и температуры. Найдены периоды осцилляций и рассмотрены предельные случаи сильных и слабых полей.

Работа выполнена при поддержке Российского фонда фундаментальных исследований (проект № 05-02-16145).

PACS: 75.75.+a, 73.21.La

1. Введение

Наноструктуры, имеющие геометрию кольца, представляют значительный интерес, так как открывают уникальные возможности для изучения квантовых интерференционных эффектов, таких, например, как незатухающий ток и эффект Ааронова–Бома. Отметим, что хотя простейшая одномерная (1D) модель кольца и сыграла важную роль в понимании квантовых интерференционных эффектов, она не в состоянии объяснить ряд эффектов, наблюдаемых экспериментально [1–8]. В связи с этим подчеркнем, что конечная ширина кольца является одним из самых важных факторов, которые приводят к сложности в понимании реальных экспериментов. В кольце с конечной шириной проявляются два важных эффекта. Во-первых, в случае рассмотрения незатухающего тока важен многоканальный режим транспорта. Во-вторых, при наличии внешнего однородного магнитного поля существенную роль может играть проникновение магнитного поля в проводящую область кольца.

Для описания электронных свойств колец использовались различные модели. В частности, к простейшим моделям колец можно отнести модель двумерной или трехмерной проволоки с периодическими граничными условиями [9–18]. Используются и более сложные модели для описания конфайнмента кольца, такие как потенциал Хилла, а также потенциал Волкано [19].

Использование таких моделей кольца в теоретических исследованиях обусловлено тем, что они позволяют получить простые аналитические выражения для электронного спектра колец при наличии внешнего магнитного поля и далее найти явные аналитические выражения для магнитного момента и незатухающего тока в этой наносистеме.

Подобные квантовые кольца изготавливаются на основе гетероструктур, например AlGaAs–GaAs-гетероструктуры [20,21], в которых формируется двумерный электронный газ. Однако экспериментально затруднительно определить явный вид потенциала, описывающий конфайнмент кольца. Но тем не менее о применимости той или иной модели для описания колец можно судить

при сравнении экспериментальных данных и теоретических результатов. Потенциал в модели Волкано успешно использовался для объяснения биений в осцилляциях Ааронова–Бома, которые экспериментально наблюдались в двумерном полупроводниковом кольце [22,23]. В таких кольцах движение электронов вдоль одного направления (ось Oz), перпендикулярного плоскости самого кольца, „заморожено“ в основном состоянии сильным поверхностным потенциалом, поскольку толщина кольца намного меньше, чем внутренний и внешний радиусы кольца. Поэтому в плоскости кольца образуется двумерный электронный газ.

В простейших моделях изменение величины магнитного поля изменяет фазы электронов, что дает в результате периодические мезоскопические осцилляции в электронных свойствах (осцилляции Ааронова–Бома) и незатухающий ток I , который связан с магнитным моментом кольца M линейным соотношением $I = cM/S$, где S — площадь области кольца. Поведение реальных колец хорошо описывается простыми моделями только в случае достаточно сильных магнитных полей, т.е. когда магнитный конфайнмент сильнее геометрического [19]. Отметим, что проникновение магнитного поля в проводящую область кольца может приводить к неперiodическим осцилляциям типа биений.

Подчеркнем, что, за исключением [18], в литературе не были получены явные аналитические выражения для магнитного момента и незатухающего тока в кольце с конечной шириной при $T \neq 0$. Такие выражения позволили бы определить форму и период осцилляций и зависимость исследуемых величин от температуры T . В частности, в [19] рассмотрены магнитный момент и незатухающий ток кольца в модели Волкано при $T = 0$, но удобные для аналитического исследования выражения не получены и исследование проводилось только численными методами.

Целью настоящей работы является получение явных зависимостей магнитного момента и незатухающего тока в кольце с потенциалом конфайнмента Волкано при $T \neq 0$, а также аналитическое исследование этих выражений. В отличие от [19] в работе рассматривается неизолированное кольцо.

2. Термодинамический потенциал и магнитный момент

Мы рассматриваем свободный бесспиновый электрон в двумерном кольце, которое описывается радиальным потенциалом Волкано [19]:

$$V(r) = \frac{a_1}{r^2} + a_2 r^2 - V_0. \quad (1)$$

Используя результаты [19], можно получить

$$V(r) = \frac{m^* \omega_0^2}{2} \left(r - \frac{r_0^2}{r} \right)^2, \quad (2)$$

где ω_0 — характеристическая частота потенциала, m^* — эффективная масса электрона.

Как следует из [19], внешний (r_+) и внутренний (r_-) радиусы кольца на уровне Ферми имеют вид

$$r_{\pm} = r_0 \left(1 + \varepsilon_f \pm \sqrt{2\varepsilon_f + \varepsilon_f^2} \right)^{1/2}, \quad (3)$$

где $\varepsilon_f = E_F / (m^* \omega_0^2 r_0^2)$, E_F — энергия Ферми, r_0 — средний радиус кольца.

Электронный энергетический спектр для кольца Волкано найден в [19]:

$$E_{nm} = \left(n + \frac{1}{2} \right) \hbar \omega + \sqrt{m^2 + \rho_0^4} \frac{\hbar \omega}{2} - m \frac{\hbar \omega_c}{2} - \hbar \omega_0 \rho_0^2, \quad (4)$$

где $n = 0, 1, 2, \dots$, $m = 0, \pm 1, \pm 2, \dots$, $\omega = \sqrt{4\omega_0^2 + \omega_c^2}$, ρ_0 — средний радиус, выраженный в единицах $\sqrt{\hbar / (m^* \omega_0)}$, ω_c — циклотронная частота.

Магнитный момент M электронов кольца, когда химический потенциал $\mu = \text{const}$ (неизолированное кольцо), будем искать по стандартной формуле

$$M = - \left(\frac{\partial \Omega}{\partial B} \right)_{\mu, T}, \quad (5)$$

где Ω — термодинамический потенциал, который можно найти с помощью классической статсуммы Z :

$$\begin{aligned} Z^{-1} &= \sum_{n,m} \exp \left(- \frac{E_{nm}}{T} \right) \\ &= \left[\sum_{n=0}^{\infty} \exp \left(- \frac{\hbar \omega (n + 1/2)}{T} \right) \right] \exp \left(\frac{\hbar \omega_0 \rho_0^2}{T} \right) \\ &\quad \times \sum_{m=-\infty}^{\infty} \exp \left(- \frac{\hbar \omega}{2T} \sqrt{m^2 + \rho_0^4} + \frac{\hbar \omega_c}{2T} m \right). \end{aligned} \quad (6)$$

Вычислим суммы рядов в (6) в предположении, что при $m \neq 0$ $\sqrt{m^2 + \rho_0^4} \simeq |m|$. Данное условие хорошо выпол-

няется для $\rho_0 \lesssim 1/2$, т.е. для случая, когда $r_+ \gg r_-$, что соответствует широким квантовым кольцам. Представим Z^{-1} в виде суммы трех членов

$$Z^{-1} = Z_1^{-1} + Z_2^{-1} + Z_3^{-1},$$

которые имеют вид

$$Z_1^{-1} = \frac{\exp[(\varepsilon_1 - \varepsilon)/T]}{2 \sinh[\hbar \omega / (2T)]}, \quad (7)$$

$$Z_2^{-1} = \frac{\exp[(\varepsilon_2 - \varepsilon)/T]}{4 \sinh[\hbar \omega / (2T)] \sinh[\hbar \omega_2 / (2T)]}, \quad (8)$$

$$Z_3^{-1} = \frac{\exp[(\varepsilon_3 - \varepsilon)/T]}{4 \sinh[\hbar \omega / (2T)] \sinh[\hbar \omega_3 / (2T)]}, \quad (9)$$

где для удобства введены следующие обозначения:

$$\omega_2 = \frac{\omega - \omega_c}{2}, \quad \omega_3 = \frac{\omega + \omega_c}{2},$$

$$\varepsilon_1 = \varepsilon + \hbar \omega_0 \rho_0^2 - \frac{\hbar \omega}{2} \rho_0^2, \quad \varepsilon_2 = \varepsilon + \hbar \omega_0 \rho_0^2 - \frac{\hbar \omega_2}{2},$$

$$\varepsilon_3 = \varepsilon + \hbar \omega_0 \rho_0^2 - \frac{\hbar \omega_3}{2}.$$

Для нахождения термодинамического потенциала воспользуемся формулой [24]

$$\begin{aligned} \Omega &= - \int_0^{\infty} d\varepsilon \frac{\exp[(\mu - \varepsilon)/T]}{1 + \exp[(\mu - \varepsilon)/T]} \\ &\quad \times \left\{ \frac{1}{2\pi i} \int_{a-i\infty}^{a+i\infty} Z^{-1}(\xi) \exp(\varepsilon \xi) \frac{d\xi}{\xi} \right\}, \end{aligned} \quad (10)$$

где $0 < a < 1/T$, $\xi = 1/T$.

Удобно обозначить выражение в фигурных скобках в (10) как $F(\varepsilon)$ и представить его в виде суммы трех слагаемых, которые выражаются через Z_1^{-1} , Z_2^{-1} , Z_3^{-1} соответственно,

$$F(\varepsilon) = f_1(\varepsilon) + f_2(\varepsilon) + f_3(\varepsilon),$$

где $f_i(\varepsilon)$ ($i = 1, 2, 3$) равны

$$f_i(\varepsilon) = \frac{1}{2\pi i} \int_{a-i\infty}^{a+i\infty} Z_i^{-1}(\xi) \exp(\varepsilon \xi) \frac{d\xi}{\xi}.$$

Используя метод, описанный в [25], можно получить

$$f_1(\varepsilon) = \frac{\varepsilon_1}{\hbar \omega} + \frac{1}{\pi} \sum_{n=1}^{\infty} \frac{(-1)^n}{n} \sin \left(\frac{2\pi n}{\hbar \omega} \varepsilon_1 \right). \quad (11)$$

Аналогично для $f_2(\varepsilon)$ получим

$$f_2(\varepsilon) = \frac{1}{12\hbar^2\omega\omega_2} \left(6\varepsilon_2^2 - \frac{\hbar^2\omega^2}{2} - \frac{\hbar^2\omega_2^2}{2} \right) - \frac{1}{4\pi} \times \sum_{\substack{n=-\infty \\ n \neq 0}}^{\infty} \frac{(-1)^n}{n} \left[\frac{\exp[2\pi i n \varepsilon_2 / (\hbar\omega)]}{\sin[\pi n \omega_2 / \omega]} + \frac{\exp[2\pi i n \varepsilon_2 / (\hbar\omega_2)]}{\sin[\pi n \omega / \omega_2]} \right]. \quad (12)$$

Выражение для $f_3(\varepsilon)$ получим из $f_2(\varepsilon)$ заменой ω_2 на ω_3 и ε_2 на ε_3 .

Представим термодинамический потенциал Ω электронного газа в кольце в виде суммы трех членов: $\Omega = \Omega_1 + \Omega_2 + \Omega_3$.

Здесь Ω_i описываются выражениями

$$\Omega_i = - \int_0^{\infty} d\varepsilon \frac{f_i(\varepsilon)}{1 + \exp[(\varepsilon - \mu)/T]}.$$

Для Ω_1 используем (11), тогда

$$\Omega_1 = - \frac{1}{\hbar\omega} \int_0^{\infty} d\varepsilon \frac{\varepsilon_1}{1 + \exp[(\varepsilon - \mu)/T]} - \frac{1}{\pi} \sum_{n=1}^{\infty} \frac{(-1)^n}{n} \int_0^{\infty} d\varepsilon \frac{\sin[2\pi n \varepsilon_1 / (\hbar\omega)]}{1 + \exp[(\varepsilon - \mu)/T]}. \quad (13)$$

Из (13) получим

$$\Omega_1 = - \frac{1}{2} \left(\frac{2\omega_0}{\omega} - 1 \right) \rho_0^2 \mu - \frac{\mu^2}{2\hbar\omega} + \frac{\hbar\omega}{24} - \frac{\hbar\omega}{8} \rho_0^4 \left(\frac{2\omega_0}{\omega} - 1 \right)^2 + \sum_{n=1}^{\infty} \frac{(-1)^n}{n} \frac{T}{\sinh[2\pi^2 n T / (\hbar\omega)]} \cos \left(\frac{2\pi n}{\hbar\omega} \mu_1 \right), \quad (14)$$

где $\mu_1 = \mu + \hbar\rho_0^2(\omega_0 - \omega/2)$.

Аналогично найдем и Ω_2

$$\Omega_2 = - \frac{1}{12\hbar^2\omega\omega_2} \int_0^{\infty} \frac{6\varepsilon_2^2 - (\hbar^2\omega^2 + \hbar^2\omega_2^2)/2}{1 + \exp[(\varepsilon - \mu)/T]} d\varepsilon + \frac{1}{4\pi} \sum_{\substack{n=-\infty \\ n \neq 0}}^{\infty} \frac{(-1)^n}{n} \left[\frac{1}{\sin[\pi n \omega_2 / \omega]} \int_0^{\infty} \frac{\exp[2\pi i n \varepsilon_2 / (\hbar\omega)]}{1 + \exp[(\varepsilon - \mu)/T]} d\varepsilon + \frac{1}{\sin[\pi n \omega / \omega_2]} \int_0^{\infty} \frac{\exp[2\pi i n \varepsilon_2 / (\hbar\omega_2)]}{1 + \exp[(\varepsilon - \mu)/T]} d\varepsilon \right]. \quad (15)$$

Из (15) и (12) получим

$$\Omega_2 = \frac{1}{12\hbar^2\omega\omega_2} \left[2 \left(\hbar\omega_0\rho_0^2 - \frac{\hbar\omega_2}{2} \right)^3 - 2\mu_2^3 + \frac{\hbar^2\omega^2 + \hbar^2\omega_2^2}{2} \mu \right] - \frac{\hbar}{4\pi^2} \sum_{n=1}^{\infty} \frac{(-1)^n}{n^2} \left[\frac{\omega \sin[2\pi n(\omega_0\rho_0^2 - \omega_2/2)/\omega]}{\sin[\pi n \omega_2 / \omega]} + \frac{\omega_2 \sin[2\pi n(\omega_0\rho_0^2 - \omega_2/2)/\omega_2]}{\sin[\pi n \omega / \omega_2]} \right] + \sum_{n=1}^{\infty} \frac{(-1)^n}{n} \left[\frac{T}{2 \sinh[2\pi^2 n T / (\hbar\omega)]} \frac{\sin[2\pi n \mu_2 / (\hbar\omega)]}{\sin[\pi n \omega_2 / \omega]} + \frac{T}{2 \sinh[2\pi^2 n T / (\hbar\omega_2)]} \frac{\sin[2\pi n \mu_2 / (\hbar\omega_2)]}{\sin[\pi n \omega / \omega_2]} \right], \quad (16)$$

где $\mu_2 = \mu + \hbar\omega_0\rho_0^2 - \hbar\omega_2/2$.

Найдем Ω_3 из (16) заменой μ_2 на μ_3 , ω_2 на ω_3

$$\Omega_3 = \frac{1}{12\hbar^2\omega\omega_3} \left[2 \left(\hbar\omega_0\rho_0^2 - \frac{\hbar\omega_3}{2} \right)^3 - 2\mu_3^3 + \frac{\hbar^2\omega^2 + \hbar^2\omega_3^2}{2} \mu \right] - \frac{\hbar}{4\pi^2} \sum_{n=1}^{\infty} \frac{(-1)^n}{n^2} \left[\frac{\omega \sin[2\pi n(\omega_0\rho_0^2 - \omega_3/2)/\omega]}{\sin[\pi n \omega_3 / \omega]} + \frac{\omega_3 \sin[2\pi n(\omega_0\rho_0^2 - \omega_3/2)/\omega_3]}{\sin[\pi n \omega / \omega_3]} \right] + \sum_{n=1}^{\infty} \frac{(-1)^n}{n} \left[\frac{T}{2 \sinh[2\pi^2 n T / (\hbar\omega)]} \frac{\sin[2\pi n \mu_3 / (\hbar\omega)]}{\sin[\pi n \omega_3 / \omega]} + \frac{T}{2 \sinh[2\pi^2 n T / (\hbar\omega_3)]} \frac{\sin[2\pi n \mu_3 / (\hbar\omega_3)]}{\sin[\pi n \omega / \omega_3]} \right], \quad (17)$$

где $\mu_3 = \mu + \hbar\omega_0\rho_0^2 - \hbar\omega_3/2$.

Представим Ω в виде суммы монотонной и осциллирующей частей:

$$\Omega = \Omega_1 + \Omega_2 + \Omega_3 = \Omega^{\text{mon}} + \Omega^{\text{osc}}.$$

Из (14), (16) и (17) следует, что монотонная часть имеет вид

$$\Omega^{\text{mon}} = - \frac{1}{2} \left(\frac{2\omega_0}{\omega} - 1 \right) \rho_0^2 \mu - \frac{\mu^2}{2\hbar\omega} + \frac{\hbar\omega}{2} \rho_0^4 - \frac{\hbar\omega}{8} \rho_0^4 + \frac{1}{12\hbar^2\omega\omega_2} \left[2 \left(\hbar\omega_0\rho_0^2 - \frac{\hbar\omega_2}{2} \right)^3 - 2\mu_2^3 + \frac{\hbar^2\omega^2 + \hbar^2\omega_2^2}{2} \mu \right] + \frac{1}{12\hbar^2\omega\omega_3} \left[2 \left(\hbar\omega_0\rho_0^2 - \frac{\hbar\omega_3}{2} \right)^3 - 2\mu_3^3 + \frac{\hbar^2\omega^2 + \hbar^2\omega_3^2}{2} \mu \right]. \quad (18)$$

Осциллирующую часть Ω запишем в виде

$$\begin{aligned} \Omega^{\text{osc}} = & -\frac{\hbar}{4\pi^2} \sum_{n=1}^{\infty} \frac{1}{n^2} \left(\omega_2 \frac{\sin[2\pi n \omega_0 \rho_0^2 / \omega_2]}{\sin[\pi n \omega / \omega_2]} \right. \\ & \left. + \omega_3 \frac{\sin[2\pi n \omega_0 \rho_0^2 / \omega_3]}{\sin[\pi n \omega / \omega_3]} \right) + \sum_{n=1}^{\infty} \frac{(-1)^n}{n} \\ & \times \frac{2T \sin[\pi n \rho_0^2 / 2]}{\sinh[2\pi^2 n T / (\hbar \omega)]} \sin\left(\frac{2\pi n}{\hbar \omega} (\mu + \hbar \omega_0 \rho_0^2) \right. \\ & \left. - \frac{\pi}{2} n \rho_0^2\right) + \sum_{n=1}^{\infty} \frac{1}{n} \left(\frac{T}{\sinh[2\pi^2 n T / (\hbar \omega_2)]} \right. \\ & \times \frac{\sin[2\pi n (\mu + \hbar \omega_0 \rho_0^2) / (\hbar \omega_2)]}{2 \sin[\pi n \omega / \omega_2]} \\ & \left. + \frac{T}{\sinh[2\pi^2 n T / (\hbar \omega_3)]} \frac{\sin[2\pi n (\mu + \hbar \omega_0 \rho_0^2) / (\hbar \omega_3)]}{2 \sin[\pi n \omega / \omega_3]} \right). \end{aligned} \quad (19)$$

Выражение для магнитного момента $M = -(\partial \Omega / \partial B)_{\mu, T}$ также удобно представить в виде

$$M = M^{\text{mon}} + M^{\text{osc}}.$$

Для M^{mon} легко получить оценку

$$\frac{M^{\text{mon}}}{\mu_B^*} \simeq -\frac{\omega_c}{6\hbar \omega_0^2} \mu, \quad (20)$$

где $\mu_B^* = e\hbar / (2m^*c)$ — эффективный магнетон Бора.

При вычислении M^{osc} будем дифференцировать только быстро осциллирующие множители, тогда получим

$$\begin{aligned} \frac{M^{\text{osc}}}{\mu_B^*} = & \frac{8\pi(\mu + \hbar \omega_0 \rho_0^2) \omega_c T}{\hbar^2 \omega^3} \sum_{n=1}^{\infty} (-1)^n \frac{\sin[\pi n \rho_0^2 / 2]}{\sinh[2\pi^2 n T / (\hbar \omega)]} \\ & \times \cos\left(\frac{2\pi n}{\hbar \omega} (\mu + \hbar \omega_0 \rho_0^2) - \frac{\pi}{2} n \rho_0^2\right) \\ & - 2\pi T \sum_{n=1}^{\infty} \frac{1}{\sinh[2\pi^2 n T / (\hbar \omega_2)]} \\ & \times \left\{ \frac{\mu + \hbar \omega_0 \rho_0^2}{\hbar^2 \omega \omega_2} \frac{\cos[2\pi n (\mu + \hbar \omega_0 \rho_0^2) / (\hbar \omega_2)]}{\sin[\pi n \omega / \omega_2]} \right. \\ & \left. - \frac{\omega_3}{\hbar \omega \omega_2} \frac{\cos[\pi n \omega / \omega_2] \sin[2\pi n (\mu + \hbar \omega_0 \rho_0^2) / (\hbar \omega_2)]}{\sin^2[\pi n \omega / \omega_2]} \right\} \\ & + 2\pi T \sum_{n=1}^{\infty} \frac{1}{\sinh[2\pi^2 n T / (\hbar \omega_3)]} \left\{ \frac{\mu + \hbar \omega_0 \rho_0^2}{\hbar^2 \omega \omega_3} \right. \\ & \times \frac{\cos[2\pi n (\mu + \hbar \omega_0 \rho_0^2) / (\hbar \omega_3)]}{\sin[\pi n \omega / \omega_3]} \\ & \left. - \frac{\omega_2}{\hbar \omega \omega_3} \frac{\cos[\pi n \omega / \omega_3] \sin[2\pi n (\mu + \hbar \omega_0 \rho_0^2) / (\hbar \omega_3)]}{\sin^2[\pi n \omega / \omega_3]} \right\}. \end{aligned} \quad (21)$$

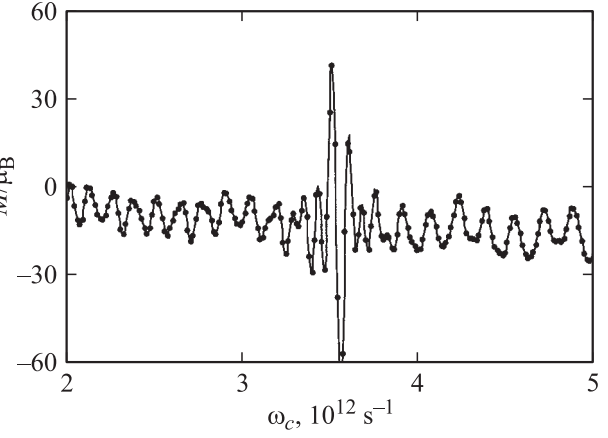


Рис. 1. Зависимость магнитного момента в единицах μ_B^* от циклотронной частоты. $T = 7$ К, $\rho_0 = 1/3$, $\mu = 5.44 \cdot 10^{-13}$ эрг, $\omega_0 = 5 \cdot 10^{12}$ с $^{-1}$.

При нахождении (21) из-за малости пренебрегали первой суммой в (19). Ее малость подтверждается рис. 1, на котором изображены графики зависимости магнитного момента от циклотронной частоты для двух формул. Точечный график построен как производная по B стартовой формулы

$$\Omega = -T \sum_{n,m} \ln \left[1 + \exp\left(\frac{\mu - E_{nm}}{T}\right) \right]. \quad (22)$$

Сплошная линия построена на основе (20) и (21).

Из рис. 1 видно, что оба графика практически совпадают; это подтверждает законность используемого приближения.

3. Осцилляции магнитного момента

Из формулы (21) следует, что осцилляционная компонента магнитного момента представляет собой сумму трех компонент. В общем случае период осцилляций является функцией магнитного поля. Рассмотрим сначала предельный случай малых полей, т. е. когда $\omega_c \ll \omega_0$:

$$\omega = 2\omega_0 \sqrt{1 + \frac{\omega_c^2}{4\omega_0^2}} \simeq 2\omega_0 \left(1 + \frac{\omega_c^2}{8\omega_0^2} \right). \quad (23)$$

Найдем период осцилляций каждой из двух последних сумм в (21). Для второй и третьей сумм получим соответственно

$$\Delta B^{(2)} = \Delta B^{(3)} = \frac{2\hbar \omega_0^2}{\mu + \hbar \omega_0 \rho_0^2} \frac{m^* c}{e}. \quad (24)$$

Найдем магнитный поток через кольцо по стандартной формуле

$$\Phi = B \Delta S, \quad (25)$$

где $\Delta S = \pi(r_+^2 - r_-^2)$ — площадь проводящей области кольца.

Учитывая (3), получим, что

$$r_+^2 - r_-^2 = 2r_0^2 \sqrt{2\varepsilon_f + \varepsilon_f^2} \simeq 2r_0^2 \varepsilon_f,$$

так как $\varepsilon_f \gg 1$. Тогда $\Delta S = 2\pi\mu/(m^*\omega_0^2)$, следовательно, $\Phi = 2\pi\mu B/(m^*\omega_0^2)$.

Изменение магнитного потока за период в единицах кванта потока $\Phi_0 = 2\pi\hbar c/e$ имеет вид

$$\frac{\Delta\Phi}{\Phi_0} = \frac{\mu e}{m^*\omega_0^2 c \hbar} \Delta B. \quad (26)$$

В слабых полях, когда $\omega_c \ll \omega_0$, получим

$$\frac{\Delta\Phi^{(2),(3)}}{\Phi_0} = 2. \quad (27)$$

Теперь рассмотрим случай сильных полей $\omega_c \gg \omega_0$, тогда

$$\omega = 2\omega_c \sqrt{1 + \frac{4\omega_0^2}{\omega_c^2}} \simeq \omega_c \left(1 + \frac{2\omega_0^2}{\omega_c^2}\right),$$

$$\omega_2 = \frac{\omega - \omega_c}{2} \simeq \frac{\omega_c}{2} \left(1 + \frac{2\omega_0^2}{\omega_c^2}\right) - \frac{\omega_c}{2} \simeq \frac{\omega_0^2}{\omega_c},$$

$$\omega_3 = \frac{\omega + \omega_c}{2} \simeq \frac{\omega_c}{2} \left(1 + \frac{2\omega_0^2}{\omega_c^2}\right) + \frac{\omega_c}{2} \simeq \omega_c.$$

Найдем периоды осцилляций по обратному полю

$$\left(\Delta \frac{1}{B}\right)^{(1)} = \left(\Delta \frac{1}{B}\right)^{(3)} = \frac{1}{\mu + \hbar\omega_0\rho_0^2} \frac{e\hbar}{m^*c}. \quad (28)$$

Что же касается второй суммы, то она осциллирует только по полю B с периодом, равным кванту потока. Действительно,

$$\Delta B^{(2)} = \frac{\hbar\omega_0^2}{\mu + \hbar\omega_0\rho_0^2} \frac{m^*c}{e}$$

не зависит при $\omega_c \gg \omega_0$ от поля. Как следует из полученного выше результата, период по потоку $\Delta\Phi/\Phi_0 = 1$.

Незатухающий ток определяется известным выражением

$$I = -c \left(\frac{\partial\Omega}{\partial\Phi} \right)_{\mu,T}. \quad (29)$$

Используя результаты, полученные выше, имеем

$$I = \frac{m^*c\omega_0^2}{2\pi\mu} M, \quad (30)$$

где $M = M^{\text{мон}} + M^{\text{оск}}$, которые определены в (20) и (21).

4. Заключение

Как следует из (20) и (21), вклад в магнитный момент кольца Волкано дает одна линейная по магнитному полю и три осциллирующие компоненты. Отметим, что аналогичная ситуация имеет место и для параболического квантового кольца [18], только там осциллирующих слагаемых в магнитном моменте две.

В сильных магнитных полях $\omega_c \gg \omega_0$ первая и третья осциллирующие части в (21) испытывают осцилляции по $1/B$ типа Де Гааза–Ван Альфена, и данные осцилляции отличаются от стандартных смещением химического потенциала на величину $\hbar\omega_0\rho_0^2$. Вторая осциллирующая сумма в (21) осциллирует только по B с периодом, равным кванту потока. Таким образом, картина осцилляций в этом случае такова: на осцилляции Де Гааза–Ван Альфена, имеющие большой период, накладываются более мелкие осцилляции типа Ааронова–Бома с периодом, равным одному кванту потока (рис. 2), которые образуют их тонкую структуру. Амплитуда осцилляций Де Гааза–Ван Альфена по отношению к осцилляциям Ааронова–Бома имеет порядок ω_2/ω_c .

Следует отметить, что для наблюдения осцилляций Де Гааза–Ван Альфена необходимо, чтобы выполнялось два условия. Ширина уровней энергии должна быть много меньше, чем расстояние между соседними уровнями, $T \ll \hbar(\omega - \omega_c)/2$. Также уровни энергии не должны быть сильно размыты рассеянием, т.е. $\hbar/\tau \ll \hbar(\omega - \omega_c)/2$, где τ — среднее время столкновений электронов. Для наблюдения осцилляций Ааронова–Бома имеется следующее ограничение: длина внешней окружности кольца должна быть намного меньше, чем l_ϕ , где l_ϕ — длина фазовой когерентности. Таким образом, информация о фазе волновой функции должна сохраняться на достаточно больших расстояниях по сравнению с l_ϕ , которая может быть на три-четыре порядка больше, чем длина свободного пробега электрона для $T \leq 1$ К [5,26,27].

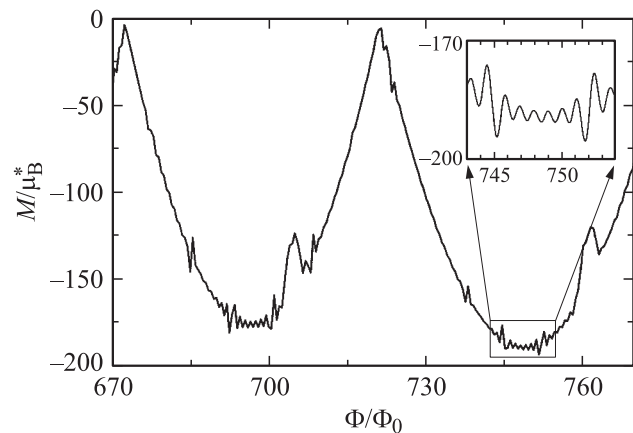


Рис. 2. Зависимость магнитного момента для случая сильных полей от магнитного потока. $T = 1$ К, $\rho_0 = 1/3$, $\mu = 5.44 \cdot 10^{-13}$ эрг, $\omega_0 = 5 \cdot 10^{12}$ с $^{-1}$.

В области слабых полей $\omega_c \ll \omega_0$ вторая и третья суммы в (21) осциллируют по полю B с периодом, равным двум квантам потока. Что же касается первой из сумм в (21), то, как показывает численный анализ, ее вклад в осциллирующую часть магнитного момента очень мал (на порядки меньше, чем вторая и третья суммы). Таким образом, в области $\omega_0 \gg \omega_c$ осцилляции M^{osc} имеют период, равный двум квантам потока (рис. 3).

В области промежуточных полей ($\omega_c \sim \omega_0$) осцилляции имеют характер биений (рис. 4). В силу линейной связи магнитного момента и незатухающего тока такой же характер осцилляций испытывает и незатухающий ток.

Как видно из (24) и (28), малые радиальные флуктуации, т.е. изменения среднего радиуса r_0 , слабо влияют на осцилляции магнитного момента. Также анализ показывает, что малые отклонения кругового кольца от идеальной формы дают малые поправки в осцилляционную картину, так для эллиптического кольца поправка к энергии равна $\Delta E_{nm} = \Delta / r_0 m^* \omega_0^2 \langle n, m | (r^4 - r_0^4) \sin^2 \varphi / r^2 | n, m \rangle$, где Δ — раз-

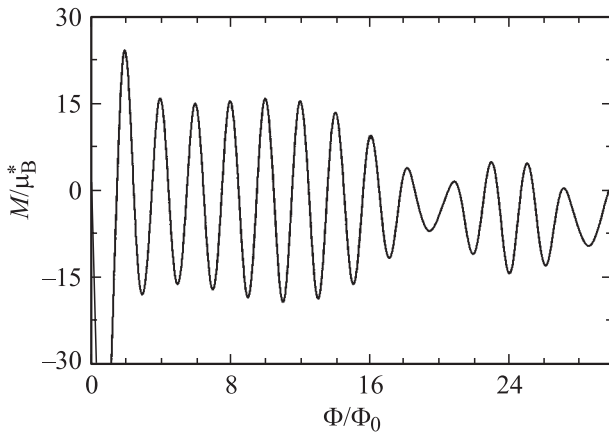


Рис. 3. Зависимость магнитного момента для случая слабых полей в единицах μ_B^* от магнитного потока. $T = 7$ К, $\rho_0 = 1/3$, $\mu = 5.44 \cdot 10^{-13}$ эрг, $\omega_0 = 5 \cdot 10^{12}$ с $^{-1}$.

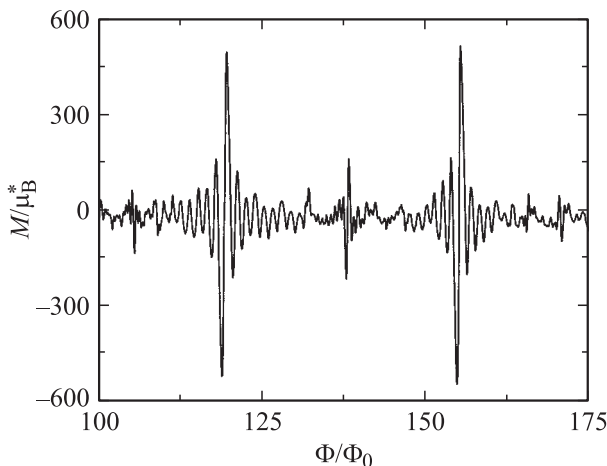


Рис. 4. Зависимость магнитного момента для случая промежуточных полей ($\omega_c \sim \omega_0$) в единицах μ_B^* от магнитного потока. $T = 1$ К, $\rho_0 = 1/3$, $\mu = 5.44 \cdot 10^{-13}$ эрг, $\omega_0 = 5 \cdot 10^{12}$ с $^{-1}$.

ность полуосей эллипса (малая величина), φ — полярный угол, $|n, m\rangle$ — волновые функции гамильтониана рассматриваемой системы [19].

В окрестности точек, где ω/ω_2 и ω/ω_3 являются целыми числами, итоговые формулы для M^{osc} неприменимы, так как знаменатели в рядах Фурье становятся малыми. Эта проблема обсуждена в [25,28], где показано, что ряды в (19) и (21) сходятся к аналитической функции с вероятностью, равной единице.

При $\rho_0 = 0$ кольцо вырождается в квантовую точку, тогда формулы (20) и (21) описывают магнитный момент квантовой точки.

Список литературы

- [1] L.P. Levy, G. Dolan, J. Dunsmuir, H. Bouchiat. Phys. Rev. Lett. **64**, 2074 (1990).
- [2] V. Chandrasekhar, R.A. Webb, M.J. Brady, M.B. Ketchen, W.J. Gallagher, A. Kleinsasser. Phys. Rev. Lett. **67**, 3578 (1991).
- [3] D. Mailly, C. Chapelier, A. Benoit. Phys. Rev. Lett. **70**, 2020 (1993).
- [4] N. Byers, C.N. Yang. Phys. Rev. Lett. **7**, 46 (1961).
- [5] M. Buttiker, Y. Imry, R. Landauer. Phys. Rev. Lett. **96** A, 365 (1983).
- [6] A.A. Bykov, Z.D. Kvon, E.B. Oslhanetskii. Inst. Phys. Conf. Ser. **145**, 909 (1996).
- [7] M.M. Fogler, E.I. Levin, B.I. Shklovskii. Phys. Rev. B **49**, 13767 (1994).
- [8] J. Simonin, C.R. Proetto. Phys. Rev. B **70**, 205305 (2004).
- [9] P.L. McEuen, E.B. Foxman, J. Kinaret, U. Meirav, M. Kastner, N.S. Wingreen, S.J. Wind. Phys. Rev. B **45**, 11419 (1992).
- [10] R.C. Ashoori, H.L. Stormer, J.S. Weiner, L.N. Pfeiffer, K. Baldwin, K.W. West. Phys. Rev. Lett. **71**, 613 (1993).
- [11] N.F. Johnson, L. Quiroga. J. Phys.: Cond. Matter **9**, 5889 (1997).
- [12] V. Ambegaokar, U. Eckern. Phys. Rev. Lett. **65**, 381 (1990).
- [13] A. Schmid. Phys. Rev. Lett. **66**, 80 (1991).
- [14] P. Kopietz. Phys. Rev. Lett. **70**, 3123 (1993).
- [15] D. Loss. Phys. Rev. Lett. **69**, 343 (1993).
- [16] R. Berkovits, Y. Avishai. Phys. Rev. Lett. **76**, 261 (1994).
- [17] R.A. Jalabert. Surf. Sci. **362**, 700 (1996).
- [18] V.A. Margulis, A.V. Shorokhov, H.P. Trushin. Physica E **10**, 518 (2001).
- [19] W.-C. Tan, J.C. Inkson. Phys. Rev. B **60**, 5626 (1999).
- [20] A. Fuhrer, S. Luscher, T. Ihn, T. Heinzel, K. Ensslin, W. Wegscheider, M. Bichler. Nature **413**, 822 (2001).
- [21] U. Keyser, S. Borck, R. Haug, M. Bichler, G. Abstreiter, W. Wegscheider. Semicond. Sci. Technol. **17**, 122 (2002).
- [22] W.-C. Tan, J.C. Inkson. Phys. Rev. B **53**, 6947 (1996).
- [23] J. Liu, W.X. Gao, K. Ismail, K.Y. Lee, J.M. Hong, S. Washburn. Phys. Rev. B **48**, 15148 (1993).
- [24] А.М. Переломов. Обобщенные когерентные состояния и их применения. Наука, М. (1987). 269 с.
- [25] V.A. Geyler, V.A. Margulis. Phys. Rev. B **55**, 2543 (1997).
- [26] Y. Gefen, Y. Imry, M.Ya. Azbel. Phys. Rev. Lett. **52**, 129 (1984).
- [27] Y. Imry. Directions in condensed matter physics / Eds G. Grinstein, E. Mazenko. World Scientific, Singapore (1986). 102 p.
- [28] L.I. Filina, V.A. Geyler, V.A. Margulis, O.B. Tomilin. Phys. Lett. A **244**, 295 (1998).